

*Выводы*

1. Получены количественные зависимости селективности, растворяющей способности экстрагента, а также суммарного выхода экстрактивных веществ от характеризующих состав экстракционной системы технологических параметров процесса разделения природных соединений из хвойной древесной зелени.
2. Показано, что уравнения, описывающие зависимость растворяющей способности и селективности экстрагента, которые получены на основании экспериментальных данных одноступенчатой экстракции, пригодны для расчета этих показателей при многоступенчатом процессе.
3. Графическим методом определены оптимальные параметры экстракционного процесса.

**СПИСОК ЛИТЕРАТУРЫ**

- [1]. Альдерс Л. Жидкостная экстракция. - Л.; М., 1962. - 340 с. [2]. Ахназарова С.Л., Кафаров В.В. Методы оптимизации эксперимента в химической технологии. - М.: Высш. шк., 1985. - 327 с. [3]. Исследование кинетических закономерностей процесса извлечения биологически активных веществ из древесной зелени / С.Н. Васильев, В.И. Рошин, Р.Ш. Абиев и др. // Лесн. журн. - 1995. - № 5 - 6. - С. 44 - 47. - (Изв. высш. учеб. заведений) [4]. Трейбал Р. Жидкостная экстракция. - М.: Химия, 1966. - 740 с.

Поступила 15 апреля 1996 г.

УДК 547.992.3

*Л.В. МАЙЕР, К.Г. БОГОЛИЦЫН*

Архангельский государственный технический университет

Майер Людмила Владимировна родилась в 1958 г., окончила в 1980 г. Архангельский лесотехнический институт, научный сотрудник Института химии и химической технологии при Архангельском государственном техническом университете. Имеет 12 печатных работ в области исследования физико-химических свойств лигнина.



Боголицын Константин Григорьевич родился в 1949 г., окончил в 1971 г. Архангельский лесотехнический институт, доктор химических наук, профессор, заведующий кафедрой физической и коллоидной химии Архангельского государственного технического университета, директор Института химии и химической технологии при АГТУ. Имеет более 200 научных трудов в области разработки физико-химических основ процессов переработки древесины.



## АНАЛИТИЧЕСКОЕ ЦЕНТРИФУГИРОВАНИЕ ЛИСТВЕННОГО СУЛЬФАТНОГО ЛИГНИНА В ОРГАНИЧЕСКИХ РАСТВОРИТЕЛЯХ

Определены среднемассовые молекулярные массы лиственного сульфатного лигнина в органических растворителях для широкого диапазона частоты вращения ротора центрифуги.

The medium-mass molecular masses of hardwood lignin in organic solvents for a wide range of rotor's turning frequency of the centrifuge have been determined.

Применение транспортных методов (седиментация, диффузия, вискозиметрия) в физикохимии природных полимеров позволяет определять их молекулярно-массовые характеристики с высокой степенью точности.

При исследовании лигнина используют растворители, отличающиеся мерой термодинамического сродства к нему [2] и электрondonорно-акцепторными свойствами [3]. Так как ассоциация и сольватация в этих растворителях протекают по-разному, то различие конформационных процессов обуславливает расхождение значений определяемых молекулярных масс (ММ).

Характеристики наиболее часто применяемых органических растворителей лигнина приведены в табл. 1. Все они относятся к «хорошим» растворителям, параметр Гильдебранда которых находится в оптимальном диапазоне  $10\text{--}12$  ( $\text{кал}/\text{см}^3\right)^{0.5}$  [1]. Согласно обнаруженной ранее [4] закономерности, при взаимодействии лигнина с полярными растворителями значения энталпии взаимодействия  $H_{vz}$  по абсолютной величине возрастают в ряду: ацетон < диоксан < диметилформамид (ДМФА) < пиридин < этилендиамин. В практике аналитического центрифугирования для определения среднемассовой молекулярной массы  $M_w$  лигнина применяют пиридин (частота вращения ротора

Таблица 1

| Растворитель      | $n_D$ | $\eta$ , сП | $\varepsilon$ | $\delta$    | $DN_{SbCl}$ | $-\Delta H_{вз}$ , кДж/кг |
|-------------------|-------|-------------|---------------|-------------|-------------|---------------------------|
| Диметилсульфоксид | 1,477 | 2,473       | 45,0          | 12,0...13,0 | 29,8        | 102,6                     |
| Диметилформамид   | 1,427 | 0,796       | 36,7          | 9,9         | 26,6        | 118,5                     |
| Метилцеллозольв   | 1,402 | 0,975       | 16,0          | 10,8        | -           | -                         |
| Диоксан           | 1,422 | 1,310       | 2,2           | 10,0        | -           | -                         |
| Пиридин           | 1,509 | 0,974       | 12,3          | 10,8        | 33,1        | 119,6                     |

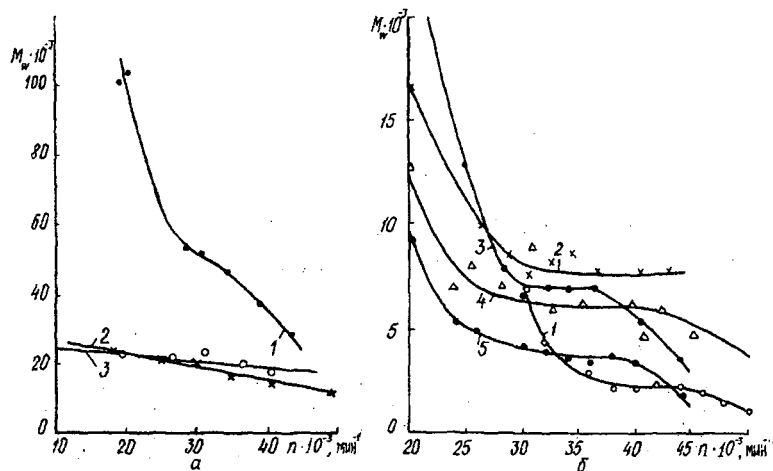
Примечание.  $n_D$  – показатель преломления;  $\eta$  – вязкость;  $\varepsilon$  – диэлектрическая проницаемость;  $\delta$  – параметр Гильдебранда;  $DN_{SbCl}$  – донорное число;  $-\Delta H_{вз}$  – энталпия взаимодействия.

Таблица 2

| Растворитель      | Инкремент показателя преломления, см <sup>3</sup> /г | Удельный парциальный объем, г/см <sup>3</sup> |
|-------------------|--|---|
| Диметилсульфоксид | 0,1934   | 0,713   |
| Диметилформамид   | 0,2056   | 0,706   |
| Метилцеллозольв   | 0,1300   | 0,532   |
| Диоксан           | 0,2151   | 0,702   |
| Пиридин           | 0,0668   | 0,644   |

центрифуги  $n = 30 \cdot 10^3$  мин<sup>-1</sup>). Полученные значения ММ лигнина используют для расчетов или выполнения калибровочной процедуры в альтернативных методах (вискозиметрия, хроматография) с различными органическими растворителями. Следовательно, необходимо учитывать, как будут отличаться значения ММ лигнина, определенные на ультрацентрифуге в пиридине, от значений, полученных в других растворителях.

Для выполнения этой задачи исследовали скоростные зависимости среднемассовой молекулярной массы лиственного сульфатного лигнина (ЛСЛ) в традиционно применяемых органических растворителях (диметилсульфоксид (ДМСО), ДМФА, метилцеллозольв, диоксан, пиридин). Значения инкремента показателя преломления ЛСЛ в исследуемых растворителях и удельные парциальные объемы приведены в табл. 2. Построенные на основании экспериментальных данных графические зависимости  $M_w = f(n)$  не только для ЛСЛ, но и других препаратов, в частности для диоксанлигнина березы (см. рисунок *a*), показывают, что вид кривых зависит как от вида препарата, так и от природы используемого растворителя. Следовательно, необходимо исследовать эту зависимость более подробно в максимально возможном диапазоне частоты вращения ротора. Как видно из рисунка *b*, графики зависимостей для образца ЛСЛ имеют три участка. Участок сильного уменьшения ММ при росте частоты вращения отвечает, видимо, разрушению слабо связанных ассоциатов. На всех графиках наблюдается «плато», соответствующее



Зависимость  $M_w = f(n)$  для диоксанлигнина березы (а) и ЛСЛ (б) в различных растворителях: 1 – ДМСО; 2 – диоксан; 3 – пиридин; 4 – метилцеллозоль; 5 – ДМФА

оптимальному интервалу частоты вращения для ЛСЛ в данном растворителе. Дальнейшее увеличение частоты вращения нежелательно, так как это ведет к получению заниженных результатов ММ, поскольку в процессе центрифугированияискажается седиментационная диаграмма.

#### Выводы

- Полидисперсность образцов лигнинов, исследуемых методом аналитического центрифугирования, является причиной сложного характера зависимости ММ от частоты вращения ротора.
- Оптимальный интервал частоты вращения ротора при определении ММ лиственного сульфатного лигнина составляет  $(28 \dots 34) \cdot 10^3 \text{ мин}^{-1}$ .

#### СПИСОК ЛИТЕРАТУРЫ

- [1]. Особенности сольватации лигнина, лигносульфонатов, гуминовых кислот / А.П. Гурбатова, Е.П. Коновалова, Г.Б. Наумова и др. // 6-я Всесоюз. конф. по термодинамике органических соединений, Минск, 24 - 26 апр. 1990 г.: Тез. докл. - С. 236.
- [2]. Тагер, А.А. Физикохимия полимеров. - М.: Химия, 1978. - 544 с.
- [3]. Энталпии взаимодействия лигнина с органическими растворителями / Г.М. Тельщева, В.Г. Цветков, Г.И. Лебедева, Е.П. Коновалова // Химия древесины. - № 2. - 1987. - С.81 - 83.
- [4]. Hildebrand J.H., Scott R.L. The solubility of nonelectrolytes. - Reinhold, N.Y. 1950. - 378 p.

Поступила 15 мая 1996 г.